



Semnan University of Medical Sciences

KOOMESH

Journal of Semnan University of Medical Sciences

Volume 20, Issue 4 (Autumn 2018), 603-807

ISSN: 1608-7046

Full text of all articles indexed in:

Scopus, Index Copernicus, SID, CABI (UK), EMRO, Iranmedex, Magiran, ISC, Embase

آرسنیک تری اکسید با القاء اتوفاژی سبب مرگ سلول‌های لوکمی پرومیلوسیتی می‌گردد

- فریده شاکری مقدم^۱ (M.Sc)، مائدۀ دژم فکر^۲ (M.Sc)، سید حمید‌الله غفاری^۳ (Ph.D)، شهین احمدیان^۴ (Ph.D)، علی خالقیان^{*} (Ph.D)
- ۱- گروه بیوشیمی، دانشکده پزشکی، دانشگاه علوم پزشکی سمنان، سمنان، ایران
 - ۲- کمیته تحقیقات دانشجویی، دانشکده پزشکی، دانشگاه علوم پزشکی سمنان، سمنان، ایران
 - ۳- بیمارستان دکتر شریعتی، دانشگاه علوم پزشکی تهران، تهران، ایران
 - ۴- مرکز تحقیقات بیوشیمی و بیوفیزیک دانشگاه تهران، تهران، ایران

تاریخ دریافت: تاریخ پذیرش:

* khaleghian.ali@gmail.com ۲۳-۲۲۴۴۱۰۲۱

چکیده

هدف: اتوفاژی مسیر حیاتی مورد نیاز برای بقاء سلول در طول گرسنگی از طریق خودخواری و تخریب پروتئین‌ها و اندامک‌های سلولی می‌باشد. ادامه یافتن اتوفاژی منجر به مرگ سلولی می‌شود. هر چند مکانیسم القاء‌کننده اتوفاژی به درستی شناخته نشده است اما به نظر می‌رسد با استفاده از تنظیم صحیح آن می‌توان در جهت درمان سرطان از آن استفاده کرد. هدف این مطالعه، بررسی تاثیر آرسنیک تری اکسید در القاء اتوفاژی در سلولهای لوکمی پرومیلوسیتی بود.

مواد و روش‌ها: در این مطالعه با استفاده از میکروسکوپ الکترونی به بررسی نقش اتوفاژی در مرگ سلول‌های لوکمی پرومیلوسیتی NB4 که با آرسنیک تری اکسید تیمار شده‌اند پرداخته شد. هم‌چنین بررسی بیان ژن‌های دخیل در اتوفاژی و فرایند آپوپتوز در این سلول‌ها به صورت واپسی به دوز و واپسی به زمان با استفاده از تکنیک Real Time PCR صورت گرفت. یافته‌ها: نتایج ما نشان داد که اتوفاژی باعث القاء مرگ در سلول‌های NB4 تحت تیمار با آرسنیک تری اکسید شده است. هم‌چنین مشخص شد که ژن‌های Atg7، Bclin1 و LC3 که از ژن‌های ضروری برای القاء اتوفاژی محسوب می‌شوند، هدف تهاجم آرسنیک تری اکسید قرار گرفته‌اند.

نتیجه‌گیری: این مطالعه نشان داد که القاء اتوفاژی توسط آرسنیک تری اکسید نقش مهمی در از بین بردن سلولهای لوکمی و درمان سرطان دارد.

واژه‌های کلیدی: لوکمی حاد پرومیلوسیتی، آرسنیک تری اکسید، اتوفاژی، بیان ژن و آپوپتوز

یوکاربوبیوتیک است که شامل تخریب و هضم پروتئین‌های آسیب‌دیده یا بدشکل گرفته و ارگانل‌های طویل‌العمری چون میتوکندری و پراکسی زوم می‌باشد [۳]. در شرایط عادی، اتوفاژی به منظور حفظ هموستاز سلول، در مقادیر پایینی انجام می‌شود. در صورتی که در شرایط استرس‌زا مانند: محرومیت غذایی، کمبود فاکتورهای رشد و شرایط پاتولوژیک مانند عفونت‌ها و تجمع ماکروملکول‌های توکسیک به سرعت القا می‌شود [۴]. مواد غذایی، به ویژه مقدار اسیدهای آمینه، تنظیم‌کننده فیزیولوژیک مهمی برای ماکرواتوفاژی (اتوفاژی) محسوب می‌شوند. در زمان فقدان اسیدهای آمینه‌ها در محیط سلول اتوفاژی القاء می‌شود [۵].

در مخمرها چندین ژن شناسایی شده‌اند که در شروع فرایند اتوفاژی شرکت دارند و به اختصار Atg نامیده می‌شوند. در

مقدمه

اتوفاژی مکانیسم پروتولیتیک حفاظت شده است که باعث تجزیه مواد سیتوپلاسمی درون ارگانل‌ها و سلول‌ها می‌شود. اتوفاژی در هموستاز سلول‌ها و بقای طولانی مدت آن‌ها اهمیت زیادی دارد [۱].

این فرایند تجزیه ترکیبات سلولی در لیزوزوم است که در پاتولوژی تعداد زیادی از بیماری‌ها نقش بسزایی ایفا می‌کند. دلایل مورفولوژیکی مختلف نشان داده‌اند که اتوفاژی برای اولین بار در مخمرها مورد بررسی قرار گرفته است و آنالوگ ژن‌های موثر در این فرایند هم‌اکنون در گروه‌های مختلفی از حیوانات شامل نماتودها و مگس‌سرکه و پستانداران یافت شده است [۲]. اتوفاژی (به زبان یونانی = خودخواری) فرایندی برای کنترل میزان و کیفیت محتویات سیتوپلاسمی در سلول‌های

میتوکندری و فعال‌سازی کسپازها، سبب بروز مرگ برنامه‌ریزی شده در سلول‌های لوکمیک می‌شود [۱۳]. امروزه As_2O_3 به عنوان تنها داروی موثر در بهبود بیماران تازه تشخیص لوکمی پرومیلوسیتیک حاد معروفی گشته است، به طوری‌که As_2O_3 با دوز 10 mg/kg در 90% از موارد تازه تشخیص APL، سبب دست‌یابی به تصحیح مشکلات مولکولی یا سیتوژنتیکی می‌شود. با استفاده از این غلظت، بیشتر عوارض گزارش شده خفیف و گذرا بوده و شامل راش‌های پوستی، دردهای اسکلتی-عضلانی، سردرد، سرگیجه، افزایش کراتینین، افزایش ترانس آمینازهای کبدی، آریتمی قلبی و در برخی موارد مرگ ناگهانی است [۱۴].

با وجود مطالعات زیادی که برای مشخص کردن چگونگی اثرگذاری As_2O_3 بر سلول‌های لوکمی انجام شده است، که غالب آن‌ها آپوپتوز و تغییرات اپی‌ژنتیکی را موثر بر گرفتن نتایج ارزشمند می‌دانند [۱۵]. بررسی اتوفازی به عنوان دومین مرگ برنامه‌ریزی شده سلولی می‌تواند گره‌گشای این مسیر درمانی باشد تا با افزایش اطلاعات ما در مورد نحوه برخورد سلول‌های لوکمی با این ترکیبات بتوانیم عوارض جانبی که بیماران با آن‌ها روبرو هستند کم‌تر شود.

مواد و روش‌ها

کشت و تیمار رده سلولی NB4 با آرسنیک تری اکسید: سلول NB4 مورد استفاده در این مطالعه تجربی، از بانک سلولی انسنتیوباستور ایران و به شکل ویال تهیه شد. تایید رده سلولی با بررسی وجود رونوشت PML-RAR α و با روش PCR-RT انجام پذیرفت. سلول‌های NB4 در محیط کشت RPMI-1640 محتوی 10% سرم (FBS)، 100 U/mL پنی‌سیلین و $100\text{ }\mu\text{g/mL}$ استروپتومایسین در شرایط دمایی 37°C درجه سانتی‌گراد و فشار 5% گاز CO_2 کشت داده شدند. در این مطالعه تجربی، رقت‌های مختلفی ($0\text{, }0/5\text{, }1/5\text{, }2$ میکرومولا) از آمپول آرسنیک تری اکسید (سینا دارو) در محیط کشت RPMI-1640 FBS تهیه شد.

بررسی اثر سمیت سیتو توکسیک آرسنیک تری اکسید: برای بررسی اثر سمیت و تعیین مقدار IC₅₀ این دارو، از روش رنگ‌سننجی MTT استفاده شد. اساس آزمایش بر مبنای توانایی سلول‌های زنده در احیای نمک تترازولیوم پروماید و تبدیل آن به رسبوفورمازان است. به همین منظور، $100\text{ }\mu\text{M}$ میکرولیتر سوسپانسیون حاوی 10^3 عدد از سلول‌های NB4 که در فاز رشد لگاریتمی بودند به هر چاهک از پلیت ۹۶ خانه‌ای منتقل شد، سپس به هر چاهک، از رقت‌های $2\text{-}48\text{ }\mu\text{M}$ داروی آرسنیک تری اکسید اضافه گشت. به دنبال

مرحله نخست اتصال بین Atg₅ و Atg₁₂ برقرار می‌شود [۶]. متعاقب آن فرم دوتایی Atg₁₆ به کمپلکس قبلی متصل می‌شود. از طرف دیگر، زنجیره سبک ۳ پروتئین مرتبط با میکروتوبول‌ها یا LC₃، در پستانداران همولوگ Atg₈ می‌باشد، به عنوان پروتئین پیش‌ساز در سیتوزول توسط Atg₄ از ناحیه C ترمینال شکسته شده و LC_{3-I} ایجاد می‌شود. Atg₃ و Atg₇ فعال شده و نهایتاً با فسفاتیدیل اتانول آمین متصل می‌شود و LC_{3-II} را می‌سازد. پروتئین متصل شده به غشاء است که به ویژه همراه اتوفاگوزوم می‌باشد [۷].

خبراً تحقیقات نشان می‌دهند که آمینواسیدها اتصال Bcl-2 به Beclin₁ را تنظیم می‌کنند. اولین زن مهارکننده تومور وابسته به اتوفازی که Beclin₁ است به عنوان یک شریک اتصالی برای Bcl-2 می‌باشد. Beclin₁ کمپلکسی را با فسفاتیدیل اینوزیتول-۳-کیناز کلاس Vps₃₄ (III کیناز) تشکیل می‌دهد که سبب افزایش اتوفازی می‌شود. اتصال Bcl-2 به Beclin₁ سبب مهار فعالیت PI₃ کیناز همراه Beclin₁ شده و اتوفازی را مهار می‌کند [۸].

اتوفازی همانند آپوپتوزیس یکی از اهداف درمانی در بیماری‌های مختلف از جمله انواع سرطان‌ها می‌باشد. ترکیبات دارویی مورد استفاده در شیمی‌درمانی که در درمان سرطان‌ها مورد استفاده قرار می‌گیرند از طریق ایجاد آپوپتوز یا اتوفازی و یا فعال کردن مکانیسم‌های دیگر، جلوی رشد افسارگسیخته سلول‌های سرطانی را می‌گیرند [۱۰, ۹].

لوکمی پرومیلوسیتی حاد (APL)، زیر گونه‌ای از لوکمی میلوئیدی حاد می‌باشد که توسط وجود جایه جایی کروموزومی (15-17)t مشخص می‌شود. ناهنجاری سیتوژنتیکی مذکور، سبب اتصال زن لوکمی پرومیلوسیتی (PML) واقع بر روی کروموزوم ۱۵ به زن گیرنده آلفا‌رتینوئیک اسید (RAR α) واقع بر روی کروموزوم ۱۷ می‌شود [۱۱].

انکوپروتئین حاصل، باعث مهار نسخه برداری از زن‌های تمایزی، آپوپتوزی و خود نوسازی سلول و در نتیجه افزایش سلول‌های نابالغ (پرومیلوسیت) در خون و مغز استخوان می‌گردد [۱۲].

شواهد زیادی مبنی بر توانایی ضد سرطانی آرسنیک تری اکسید (As_2O_3) بر علیه انواع مختلفی از بدخیمی‌های انسانی وجود دارد. مطالعه‌های In vitro نشان داده‌اند که As_2O_3 از راه‌های گوناگونی همچون فعال‌سازی پروتئین‌های پیش آپوپتوزی، سرکوب پروتئین‌های ضد آپوپتوزی، افزایش تولید گونه‌های واکنش‌پذیر اکسیژن (ROS)، کاهش پتانسیل غشاء

مقدار ۱ µg از RNA برای ساخت cDNA توسط کیت cDNA Synthesis Kit (634925Takara) استفاده شد.

طراحی پرایمر:

طراحی آغازگرها با استفاده از نرم افزار Gene Runner تایید آن با نرم افزار تحت وب Primer-Blast انجام گرفت. تغییرات قیاسی در سطح mRNA با روش Comparative Ct محاسبه گشت که برای این مظور از زن هیپوگراتین فسفوریبوزیل ترانسفراز (HPRT) برای نرمالیزه کردن بیان زن ها و نمونه تیمار نشده به عنوان نمونه مرجع استفاده شد.

جدول ۱. توالی پرایمر های استفاده شده در Real Time PCR

زن	Sense	Antisense
LC3	CCGAACTTCGAACAGAGAG	AGGCTGGTTAGCATTGAGC
Beclin1	AGCTGCCGTATACTGTCTG	ACTGCCCTCTGTCTCAATCTT
Atg 7	AGATTGCCCTGGTGGGTGGT	GGGTGATGCTGGAGGAGTTG

بررسی بیان زن ها توسط RT-PCR

برای بررسی کمی بیان زن ها به روش RT-PCR، از دستگاه SYBER Green Precision TM 2X Step One Plus qPCR Mastermix استفاده شد. واکنش های PCR در حجم نهایی ۲۰ میکرولیتر شامل ۱۷ میکس، μ L میکس، μ L آغازگر (غلظت ۱ پیکومول) و μ L از cDNA مربوطه انجام گرفت. چرخه دمایی شامل یک مرحله ۹۵ درجه سانتی گراد به مدت ۱۰ دقیقه برای فعال سازی آنژیم و متعاقب آن ۴۵ چرخه دمایی ۹۵ درجه سانتی گراد به مدت ۱۵ ثانیه (واسرتگی)، ۶۰ درجه سانتی گراد به مدت ۱۵ ثانیه (اتصال آغازگر به هدف)، ۷۲ درجه سانتی گراد به مدت ۱۵ ثانیه (تکثیر) انجام شد.

پس از آن منحنی دمای ذوب (Melting Curve) انجام شد تا از تکثیر اختصاصی رشتہ DNA هدف، اطمینان حاصل شود. تجزیه و تحلیل آماری:

در این مطالعه، تمامی آزمایش ها به شکل سه آزمون مستقل انجام گرفته و نتایج به صورت میانگین \pm انحراف معیار (SD) نمایش داده شده است. برای محاسبات آماری و رسم منحنی، از نرم افزار SPSS 13 و روش Student's t-test و ANOVA استفاده شد. مقادیر p کمتر از ۰/۰۵ معنادار در نظر گرفته شدند.

نتایج

تعیین سمیت سلولی آرسنیک تری اکسید بر روی سلول های NB4 پس از تیمار سلول ها با غلظت های مختلف آرسنیک تری اکسید، میزان اثر به روش MTT بررسی شد. سپس با استفاده از نرم افزار Graphpad prism، مقدار غلظت مهاری (IC50) بعد از ۴۸ ساعت تیمار μ M به دست آمد. با

ساعت مواجهه با دارو، تترازولیوم بروماید (سیگما) با غلظت نهایی $0/5\text{ mg/mL}$ در محیط RPMI-1640 تهیه و به هر چاهک اضافه گشت و به مدت ۳-۴ ساعت در شرایط کشت انکوبه شد و سپس در طول موج ۵۷۰ نانومتر مورد ارزیابی قرار گرفت.

تست بررسی میزان فعالیت سلول:

جهت ارزیابی میزان سلول های زنده از رنگ Trypan Blue (TB) به روش Trypan Blue Dye Exclusion استفاده شد. اساس آزمایش بر مبنای توانای سلول های زنده در خارج سازی رنگ TB می باشد. برای انجام این آزمایش تعداد برابری از سلول ها (۲۰ هزار سلول در هر چاهک) در پلیت های ۶ خانه ای کشت داده شدند و شمارش و ارزیابی زنده مانی آن ها پس از ۲۴ ساعت تیمار با داروی آرسنیک تری اکسید با استفاده از لام نتوبار و میکروسکوپ نوری انجام پذیرفت. درصد زنده مانی مربوط به هر دوز به شکل درصدی از زنده مانی کنترل (سلول های تیمار نشده) محاسبه و در نمودار ۲ به نمایش در آمده است (نمودار ۲).

بررسی اتوفارزی با میکروسکوپ الکترونی:

به منظور بررسی ایجاد فاگوزوم های اتوفارزی، پس از تیمار سلول های NB4 با آرسنیک تری اکسید، سلول ها با ساتریفیوژ رسوب داده شدند و سپس توسط محلول پارافرم آلدهید و گلوتارآلدهید ۲/۵٪ و بافر فسفات ۱٪ مولار در دمای ۴ درجه سانتی گراد انکوبه شدند. سپس برای تشییت سلول ها از تتروکسید اسمیوم محلول در بافر فسفات استفاده شد. پس از انکوبه کردن سلول ها با رزین و پختن رزین در دمای ۶۰ درجه سانتی گراد، بلوک هایی به دست آمده توسط میکروسکوپ بر شگیری شده و توسط میکروسکوپ الکترونی عبوری Hitachi مورد بررسی قرار گرفتند.

استخراج RNA:

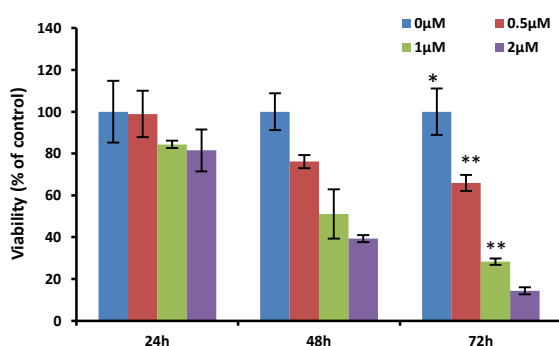
استخراج RNA توسط کیت High Pure RNA Isolation Kit مطابق دستورالعمل شرکت سازنده (Roch Cat. No. 11 828 665 001) انجام شد.

بررسی محتوا و خلوص RNA:

بعد از استخراج RNA از هر میکروتیوب برای ارزیابی محتوا RNA قبل از ساخته شدن cDNA از دستگاه نانودرای استفاده شد. در این دستگاه طول موج های ۲۸۰ و ۲۶۰ نانومتر خوانده می شود. طول موج ۲۶۰ نانومتر برای محاسبه غلظت RNA به کار می رود و نسبت ۲۶۰ به ۲۸۰ نانومتر $OD = \frac{260}{280}$ تعیین گردید.

cDNA ساخت:

می‌شود. همچنین روند کاهش تعداد سلول‌های زنده با افزایش دوز، افزایش می‌یابد به طوری که این دارو در دوز ۱ میکرومولار و در زمان ۷۲ ساعت بیش از ۷۵٪ سلول‌ها را می‌کشد.



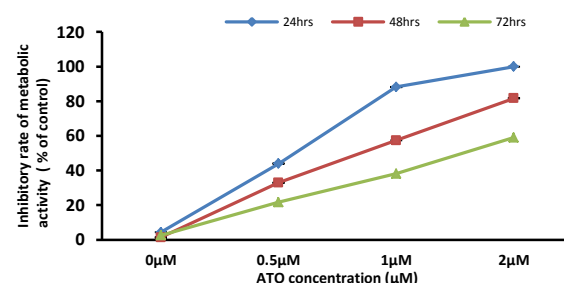
شکل ۲. میزان زنده مانی سلول‌های NB4 تحت تیمار با دوز‌های مختلف آرسنیک تری اکسید در زمان‌های ۲۴، ۴۸ و ۷۲ ساعت. در مقایسه با کنترل، میزان زنده مانی به صورت وابسته به دوز و زمان کاهش چشم‌گیری داشته است.

بررسی ظهور واکنش‌های اتوفاژی با میکروسکوپ الکترونی. به منظور بررسی ایجاد فاگوزوم‌های اتوفاژی، پس از تیمار سلول‌های NB4 با آرسنیک تری اکسید، سلول‌ها با ساتریفیوژ رسوب داده شدند و سپس توسط محلول پارافرم آلدید و گلوتارآلدهید ۰/۱ مولار در دمای ۴ درجه سانتی‌گراد انکوبه شدند. سپس برای تثبیت سلول‌ها از تتروکسید اسمیوم محلول در بافر فسفات استفاده شد. پس از انکوبه کردن سلول‌ها با رزین و پختن رزین در دمای ۶۰ درجه سانتی‌گراد، بلوک‌های به دست آمده توسط میکروتوم برش‌گیری شده و توسط میکروسکوپ الکترونی عبوری گذاره (Hitachi H 600) با ولتاژ 75×50000 کیلوولت مورد بررسی قرار گرفتند.

نتایج به دست آمده از مقایسه تصاویر میکروسکوپ الکترونی نشان داد که به صورت وابسته به دوز طی زمان ۴۸ ساعت پس از تیمار سلول‌های NB4 با آرسنیک تری اکسید، ظهور واکنش‌های اتوفاژی که نتیجه فعال شدن لیزوژوم‌های سلولی و شروع خودخواری است، افزایش می‌یابد. به طوری که در میکروسکوپ B که مربوط به تیمار با کمترین دوز آرسنیک تری اکسید (۰/۵ میکرومولار) می‌باشد، فقط یک عدد از این واکنش‌های هضمی وجود دارد و در دوز ۱ میکرومولار تعداد این واکنش‌های به بیش از ۱۰ عدد رسیده و در دوز ۲ میکرومولار تعداد بیش از این واکنش‌های اتفاقی ظاهر می‌شوند و سلول را به سمت مرگ پیش می‌برند (شکل ۳).

توجه به نتایج به دست آمده غلظت $1 \mu\text{M}$ آرسنیک تری اکسید برای ادامه کار انتخاب گردید.

نتایج به دست آمده از آزمون MTT نشان می‌دهد که داروی آرسنیک تری اکسید منجر به کاهش وابسته به دوز و زمان فعالیت متابولیکی سلول‌های NB4 می‌شود. تیمار سلول‌ها با بیشترین دوز دارو ($2 \mu\text{mol}$) میزان فعالیت متابولیکی را پس از گذشت ۷۲ ساعت تا ۹۳٪ کاهش می‌دهد (شکل ۱). همچنین مشخص شده که با افزایش دوز از $0/5$ تا 2 میکرومولار، اثر مهاری نیز افزایش می‌یابد به طوری که در زمان ۴۸ ساعت پس از تیمار بهترین شرایط برای تعريف IC₅₀ به دست می‌آید که طی آن در دوز $1 \mu\text{mol}$ در حدود ۵۳٪ سلول‌ها فعالیت متابولیکی خود را از دست داده‌اند.



شکل ۱. تیمار با آرسنیک تری اکسید سبب مهار فعالیت متابولیکی می‌شود. با افزایش دوز آرسنیک تری اکسید میزان مهار فعالیت متابولیکی به صورت وابسته به زمان کاهش چشم‌گیری پیدا می‌کند.

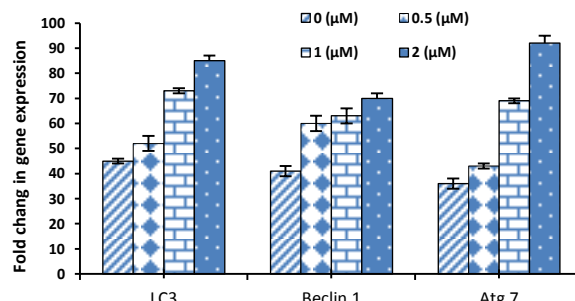
بررسی کاهش میزان حیات سلول‌ها بعد از تیمار با آرسنیک تری اکسید. پس از ۴۸، ۷۲ و ۲۴ ساعت تیمار سلول‌ها با دوز انتخاب شده، $20 \mu\text{M}$ میکرولیتر از سلول‌ها با رنگ تریبانیلو مجاور شدند و پس از شمارش سلول‌ها، درصد زنده‌مانی آن‌ها محاسبه شد. همان‌طور که انتظار می‌رفت نتایج نشان‌دهنده کاهش چشم‌گیر زنده‌مانی سلول‌ها به دنبال تیمار با آرسنیک تری اکسید بودند.

میانگین و انحراف معیار نتایج حاصل از سه ران کاری مختلف ($\text{mean} \pm \text{SD}$) محاسبه و p value به دست آمده (*، **، ***، ****) نشان‌گر معنادار بودن نتایج از نظر آماری در مقایسه با نمونه کنترل بود.

نتایج به دست آمده نشان می‌دهد که تعداد سلول‌های زنده گروه‌های تیمارشده با آرسنیک تری اکسید در مقایسه با گروه کنترل، به صورت وابسته به دوز و زمان کاهش یافته است (شکل ۲). با وجود این که دوزهای $0/5$ و $1 \mu\text{M}$ میکرومولار از آرسنیک تری اکسید قادر به اعمال اثر آنتی پرولیپراتیو بر رده سلولی NB4 طی ۲۴ ساعت نمی‌باشد، تیمار سلول‌ها برای زمان ۴۸ و ۷۲ ساعت باعث جلوگیری از تکثیر سلول‌ها

کیت SYBER Green Precision TM 2X qPCR Mastermix استفاده شد. واکنش های PCR در حجم نهایی ۲۰ میکرولیتر شامل $17 \mu\text{L}$ میکس، $1 \mu\text{L}$ آغازگر (غاظت ۱ بیکومول) و $2 \mu\text{L}$ از cDNA مربوطه انجام گرفت. چرخه دمایی شامل یک مرحله ۹۵ درجه سانتی گراد به مدت ۱۰ دقیقه برای فعال سازی آنزیم و متعاقب آن ۴۵ چرخه دمایی شامل ۹۵ درجه سانتی گراد به مدت ۱۵ ثانیه (واسرتگی)، ۶۰ درجه سانتی گراد به مدت ۱۵ ثانیه (اتصال آغازگر به هدف)، ۷۲ درجه سانتی گراد به مدت ۱۵ ثانیه (تکثیر) انجام شد.

تصاویر نشان می دهد که به صورت وابسته به دوز بیان ژن های 7 Atg و Beclin 1، LC3 تحت تیمار آرسنیک تری اکسید نسبت به کنترل افزایش می باید (شکل ۴). افزایش بیان ژن های 7 Atg و LC3 نشان از شرایط مهیا شده برای ایجاد اتوفاگوزومها را می دهد و افزایش بیان ژن 1 Beclin و ارتباط تنگاتنگ این ژن با عناصر آپوپتوزیس نشان دهنده همراهی و همکاری دو فرایند اتوفاژی و آپوپتوزیس با یک دیگر می باشد.

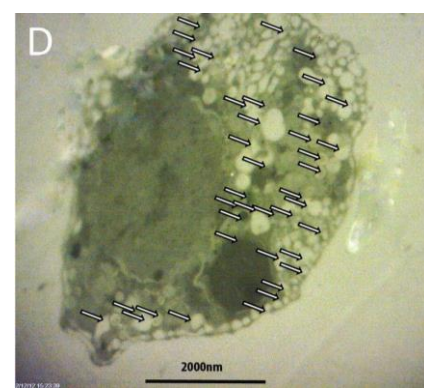
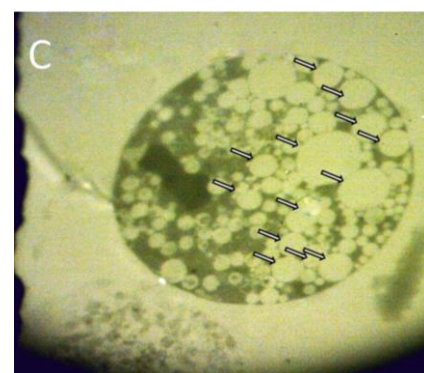
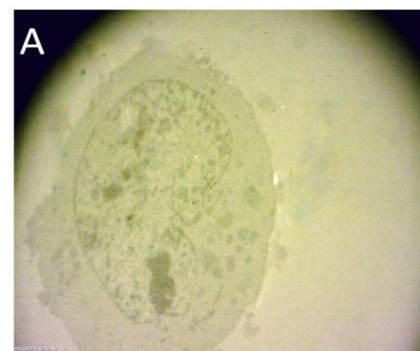


شکل ۴. تاثیر تیمار آرسنیک تری اکسید بر بیان ژن های Beclin 1، LC3 و Atg 7 در رد سلولی NB4. سلول ها با دوز ۱ میکرومولار آرسنیک تری اکسید برای مدت زمان ۴۸ ساعت تیمار شدند و پس از استخراج RNA و سنتز cDNA تحت آنالیز RQ-PCR قرار گرفتند. میانگین و انحراف معیار نتایج حاصل از سه ران کاری مختلف (mean \pm SD) محاسبه شد.

بحث و نتیجه گیری

اتوفاژی به عنوان فرایند کاتابولیک تطابق یافته در پاسخ به استرس های متابولیک مانند محرومیت غذایی، فقدان فاکتور های رشد و هایپوکسی فعال می شود. این فرایند تخریبی عظیم سبب تولید آمینواسیدهای آزاد و اسیدهای چرب و نهایتاً تولید انرژی می شود [۱۶]. نقش اتوفاژی به عنوان مکانیزم مقاومت در طول دوره کوتاه مدت کمبود آمینواسیدها به خوبی نشان داده شده است [۱۷].

اتوفاژی ممکن است نمایانگر یک نوع مرگ سلولی برنامه ریزی شده به نام مرگ سلولی اتوفاژیک و یا مرگ سلولی برنامه ریزی شده نوع ۲ نیز باشد. مرگ سلول اتوفاژیک،



شکل ۳. اتوفاژی در سلول های NB4 تیمار شده با آرسنیک تری اکسید رخ می دهد. تصاویر میکروسکوپ الکترونی نشان می دهد که آرسنیک تری اکسید باعث ظهور واکٹول های اتوفاژی در این سلول ها شده و با افزایش دوز بر میزان این واکٹول های تخریبی افزوده می گردد (واکٹول های اتوفاژی با فلاش مشخص شده است). A- سلول کنترل تیمار نشده، B- تیمار با غلظت ۰.۵ میکرومولار، C- تیمار با غلظت ۱ میکرومولار، D- تیمار با غلظت ۲ میکرومولار،

سنجهش بیان ژن ها توسط RQ-PCR. برای بررسی کمی بیان ژن ها به روشن Step One Plus، از دستگاه RQ-PCR و

مطالعات اولیه نشان داد که کاهش بیان پروتئین‌های اتوفارژی ممکن است باعث پیشرفت سرطان سینه و یا سایر تومورها شود [۲۶]. هر چند ارتباط بین اتوفارژی و آپوپتوز در کنترل سرطان‌زایی و حیات سلول‌های توموری هنوز مشخص نشده است اما مستندات نشان می‌دهد که اتوفارژی در تخریب PML-RAR مداخله می‌کند [۲۷، ۲۸]. Goussetis و همکارانش نشان دادند که آرسنیک تری اکسید از طریق مسیر MEK/ERK اتوفارژی را در سلول‌های لوکمی القا می‌کند. آن‌ها با استفاده از مهارکننده پروتئین‌های حیاتی اتوفارژی مثل beclin I و Atg نشان دادند که آرسنیک تری اکسید اثر درمانی خود را از دست می‌دهد [۲۹].

ژن مداخله‌گر در اتوفارژی I Beclin در ۷۵-۴۰٪ از سرطان سینه، تخمدان و پروستات به صورت تک آللی دچار حذف شده است [۳۰]. آرسنیک تری اکسید باعث القا اتوفارژی در لوکمی لنفوسمیتیک T انسانی می‌شود [۱۸]. Ren و همکارانش در سلول‌های NB4 تیمارشده با آرسنیک تری اکسید با استفاده از ۳-متیل آدنین (MA-۳) جلوی اتوفارژی را سد کردند و با استفاده از راپامایسین (RAPA) باعث القا اتوفارژی شدند [۳۱].

اتوفارژی بر اساس عامل القاکننده و بر اساس شرایط سلول به عنوان یک مکانیسم محافظتی در سلول‌های بدخیمی عمل می‌کند و یا با نشان دادن اثر مخالف باعث افزایش تولید پاسخ‌های آنتی‌تومپلازی می‌شود [۳۲-۳۴]. آرسنیک تری اکسید مهم‌ترین ترکیب در مطالعات Invitro و Invitro در درمان لوکمی از طریق القاء آپوپتوز می‌باشد [۳۵، ۳۶]. هر چند اطلاعات زیادی درباره نحوه القاء آپوپتوز توسط آرسنیک تری اکسید طی سال‌های اخیر به دست آمده است اما اطلاعات چندانی درباره القاء آتوفارژی و چگونگی تنظیم آن توسط این ترکیب وجود ندارد.

در این مطالعه ما به بررسی توانایی آرسنیک تری اکسید در القاء اتوفارژی در سلول‌های لوکمی پرومیلوسیتی پرداختیم و سپس بیان بعضی ژن‌های دخیل در این فرایند را مورد ارزیابی قرار دادیم. نتایج ما اثبات کرد که آرسنیک تری اکسید القاکننده قوی اتوفارژی در سلول‌های لوکمی پرمیلوسیتی می‌باشد و این راه کار از طریق افزایش بیان ژن‌های LC3 و Beclin 1، Atg 7 و Invivo در انجام می‌دهد.

در این مطالعه به بررسی مورفولوژی سلول‌های NB4 تحت تیمار با آرسنیک تری اکسید پرداختیم. نتایج نشان داد که ویزیکول‌های اتوفارژی در این سلول‌ها ظاهر می‌شوند و با افزایش دوز دارو میزان این واکئول‌های هضمی بیشتر می‌گردد (شکل ۲).

توسط تجمع وزیکول‌های اتوفارژیک مشخص می‌شود و از مرگ سلولی برنامه‌ریزی شده نوع ۱ یا آپوپتوز متمایز است. مطرح شده است که اتوفارژی کنترل نشده می‌تواند منجر به مرگ سلولی شود، که احتمالاً به خاطر تخریب بیش از حد ترکیبات سلولی است [۱۸].

امروزه علی‌رغم پیشرفت‌های انجام‌گرفته در زمینه معرفی داروهای جدید، درمان با استفاده از داروهای ضد سرطان شامل داروهای سیتو توکسیک مثل آرسنیک تری اکسید هم‌چنان امیدبخش است. در این مطالعه به بررسی چگونگی اعمال اتوفارژی در سلول‌های NB4 تیمار شده با آرسنیک تری اکسید پرداخته شد. شواهد محکمی وجود دارد مبنی بر این‌که آرسنیک تری اکسید مسیرهای پیام‌رسانی متعددی را متأثر ساخته و منجر به تغییرات گسترده در عمل کرد سلول می‌شود به گونه‌ای که آثاری همچون بروز آپوپتوز، توقف رشد و مهار آنزیوژن را بر جای می‌گذارد [۱۹].

مطالعات متعددی نشان که اتوفارژی از طریق تخریب اتکوپروتئین PML-RAR اثرات درمانی خود را القا می‌کند. به عنوان مثال ساکسون و همکارانش نشان دادند که ATRA (ویتامین A) و آرسنیک تری اکسید باعث القا اتوفارژی از طریق مسیر راپامایسین در سلول‌های APL می‌شوند [۲۰]. آرسنیک تری اکسید از طریق سیستم اوبی کویتین-پروتازوم (UPS) باعث تجزیه PML-RAR می‌شوند. این مسیر از طریق استفاده از مهارکننده‌های پروتازوم که جلوی تجزیه PML-RAR را توسط ATRA و آرسنیک تری اکسید سد می‌کند مشخص شده است [۲۱، ۲۲].

Breitenbach و همکارانش مشخص کردند که در حضور آرسنیک تری اکسید اجزاء هسته‌ای PML به وجود می‌آید که از ترکیب UPS و RNF4 و تعديل‌کننده کوچک شبه اوبی کویتین (SUMO) تشکیل شده است [۲۳]. هر چند نقش UPS در درمان از طریق تجزیه PML-RAR به خوبی مشخص شده است اما نقش اتوفارژی در تخریب این انکوپروتئین هنوز مشخص نشده است [۲۰].

اتوفارژی مکانیسم مرگ سلولی متفاوت از آپوپتوز است که آن را به عنوان مرگ برنامه‌ریزی شده نوع II می‌شناسند و شامل اتوفاگوزوم لیزوژومی است که تجزیه اجزا سلولی را انجام می‌دهد [۲۴]. شواهد زیادی نشان می‌دهد که اتوفارژی نقش بسزایی در کنترل حیات سلول‌های بدخیمی ایفا می‌کند [۲۴]. این حقیقت اولین بار توسط بررسی فعالیت یک تومورسپارسور به نام I Beclin که پس از اجزا مداخله‌گر در شروع اتوفارژی است مورد بررسی قرار گرفت [۲۵].

- [12] Sell S. Leukemia: stem cells, maturation arrest, and differentiation therapy. *Stem Cell Rev* 2005; 1: 197-205.
- [13] Canestraro M, Galimberti S, Savli H, Palumbo GA, Tibullo D, Nagy B, et al. Synergistic antiproliferative effect of arsenic trioxide combined with bortezomib in HL60 cell line and primary blasts from patients affected by myeloproliferative disorders. *Cancer Genet Cytogenet* 2010; 199: 110-120.
- [14] Westervelt P, Brown RA, Adkins DR, Khoury H, Curtin P, Hurd D, et al. Sudden death among patients with acute promyelocytic leukemia treated with arsenic trioxide. *Blood* 2001; 98: 266-271.
- [15] Khalaghian A, Ghaffari SH, Ahmadian S, Alimoghaddam K, Ghavamzadeh A. Metabolism of arsenic trioxide in acute promyelocytic leukemia cells. *J Cell Biochem* 2014; 115: 1729-1739.
- [16] Qu X, Zou Z, Sun Q, Luby-Phelps K, Cheng P, Hogan RN, et al. Autophagy gene-dependent clearance of apoptotic cells during embryonic development. *Cell* 2007; 128: 931-946.
- [17] Russell RC, Yuan HX, Guan KL. Autophagy regulation by nutrient signaling. *Cell Res* 2014; 24: 42-57.
- [18] Maiuri MC, Zalckvar E, Kimchi A, Kroemer G. Self-eating and self-killing: crosstalk between autophagy and apoptosis. *Nat Rev Mol Cell Biol* 2007; 8: 741-752.
- [19] Miller WH, Schipper HM, Lee JS, Singer J, Waxman S. Mechanisms of action of arsenic trioxide. *Cancer Res* 2002; 62: 3893-3903.
- [20] Isakson P, Bjørås M, Bøe SO, Simonsen A. Autophagy contributes to therapy-induced degradation of the PML/RARA oncoprotein. *Blood* 2010; 116: 2324-2331.
- [21] Jun Z, Valerie L, Hugues T. Pathways of retinoic acid—or arsenic trioxide, induced PML/RARA catabolism, role of oncogene degradation in disease remission. *Oncogene* 2001; 20: 7257-7265.
- [22] Yoshida H, Kitamura K, Tanaka K, Omura S, Miyazaki T, Hachiya T, et al. Accelerated degradation of PML-retinoic acid receptor α (PML-RARA) oncoprotein by all-trans-retinoic acid in acute promyelocytic leukemia: possible role of the proteasome pathway. *Cancer Res* 1996; 56: 2945-2948.
- [23] Lallemand-Breitenbach V, Jeanne M, Benhenda S, Nasr R, Lei M, Peres L, et al. Arsenic degrades PML or PML–RARA through a SUMO-triggered RNF4/ubiquitin-mediated pathway. *Nat Cell Biol* 2008; 10: 547-555.
- [24] Hu J, Liu YF, Wu CF, Xu F, Shen ZX, Zhu YM, et al. Long-term efficacy and safety of all-trans retinoic acid/arsenic trioxide-based therapy in newly diagnosed acute promyelocytic leukemia. *Proc Natl Acad Sci U S A* 2009; 106: 3342-3347.
- [25] Bence NF, Sampat RM, Kopito RR. Impairment of the ubiquitin-proteasome system by protein aggregation. *Science* 2001; 292: 1552-1555.
- [26] Liang XH, Jackson S, Seaman M, Brown K, Kempkes B, Hibshoosh H, Levine B. Induction of autophagy and inhibition of tumorigenesis by beclin 1. *Nature* 1999; 402: 672-676.
- [27] Kamitsui Y, Kuroda J, Kimura S, Toyokuni S, Watanabe K, Ashihara E, et al. The Bcr-Abl kinase inhibitor INNO-406 induces autophagy and different modes of cell death execution in Bcr-Abl-positive leukemias. *Cell Death Differ* 2008; 15: 1712-1722.
- [28] Ertmer A, Huber V, Gilch S, Yoshimori T, Erfle V, Duyster J, et al. The anticancer drug imatinib induces cellular autophagy. *Leukemia* 2007; 21: 936-942.
- [29] Goussetis DJ, Altman JK, Glaser H, McNeer JL, Tallman MS, Platanias LC. Autophagy is a critical mechanism for the induction of the antileukemic effects of arsenic trioxide. *J Biol Chem* 2010; 285: 29989-29997.
- [30] Mariño G, Salvador-Montoliu N, Fueyo A, Knecht E, Mizushima N, López-Otín C. Tissue-specific autophagy alterations and increased tumorigenesis in mice deficient in Atg4C'autophagin-3. *J Biol Chem* 2007; 282: 18573-18583.
- [31] Ren Y, Xie Y, Chai L, Wang S, Cheng M. Autophagy modification augmented the treatment effects initiated by arsenic trioxide in NB4 cells. *Med Oncol* 2011; 28: 231-236.
- [32] Apel A, Zentgraf H, Büchler MW, Herr I. Autophagy—A double-edged sword in oncology. *Int J Cancer* 2009; 125: 991-995.
- [33] Yu L, Lenardo MJ, Baehrecke EH. Autophagy and caspases: a new cell death program. *Cell Cycle* 2004; 3: 1122-1124.
- [34] Eisenberg-Lerner A, Kimchi A. The paradox of autophagy and its implication in cancer etiology and therapy. *Apoptosis* 2009; 14: 376-391.
- [35] Platanias LC. Biological responses to arsenic compounds. *J Biol Chem* 2009; 284: 18583-18587.

همچنین ما نشان دادیم که هم زمان با القا آپوپتوز، القا اتوفازی نیز در اثر تیمار سلول‌های لوکمی پرومیلوسیتی رخ می‌دهد. نیاز است در مطالعات بعدی به بررسی اثر آرسنیک تری‌اکسید در القاء اتوفازی در سایر سلول‌های لوکمی حاد میلوسیتی (AML) و سایر گونه‌های لوکمی بپردازیم.

آرسنیک تری‌اکسید می‌تواند با القاء اتوفازی اثر درمانی خود را اعمال کند [۳۸، ۳۷] و تلاش‌ها باید به کار گرفته شود تا با طراحی مولکول‌های کوچک مشابه که بتوانند به صورت هم‌زمان با آرسنیک تری‌اکسید به کار گرفته شود تا بر مقاومت به دارو سلول‌های لوکمی غلبه کنند.

در مطالعه انجام شده به بررسی تغییرات سطح بیانی سه زن دخیل در مسیر اتوفازی و بررسی تغییرات مورفوЛОژی ناشی از تشکیل واکنش‌های اتوفازی پرداخته شد اما نیاز است برای فهم بهتر این فرایند با استفاده از مطالعات سیتوشیمی و بررسی تغییرات سطح بیان پروئین‌های دخیل در اتوفازی به طور دقیق‌تر چگونگی شروع و مکانیسم اعمال این تغییرات مورد ارزیابی قرار گیرد.

تشکر و قدردانی

این پژوهش با حمایت مالی دانشگاه علوم پزشکی سمنان به شماره طرح های ۷۷۹ و ۷۵۹ انجام شده است.

منابع

- Mizushima N, Levine B, Cuervo AM, Klionsky DJ. Autophagy fights disease through cellular self-digestion. *Nature* 2008; 451: 1069-1075.
- Klionsky DJ. Autophagy: from phenomenology to molecular understanding in less than a decade. *Nat Rev Mol Cell Biol* 2007; 8: 931-937.
- Nakatogawa H, Suzuki K, Kamada Y, Ohsumi Y. Dynamics and diversity in autophagy mechanisms: lessons from yeast. *Nat Rev Mol Cell Biol* 2009; 10: 458-467.
- Levine B, Kroemer G. Autophagy in the pathogenesis of disease. *Cell* 2008; 132: 27-42.
- Mizushima N. Autophagy: process and function. *Genes Dev* 2007; 21: 2861-2873.
- Mizushima N, Klionsky DJ. Protein turnover via autophagy: implications for metabolism. *Annu Rev Nutr* 2007; 27: 19-40.
- Pankiv S, Clausen TH, Lamark T, Brech A, Bruun JA, Outzen H, Øvervatn A, Bjørkøy G, Johansen T. p62/SQSTM1 binds directly to Atg8/LC3 to facilitate degradation of ubiquitinated protein aggregates by autophagy. *J Biol Chem* 2007; 282: 24131-24145.
- Pattingre S, Tassa A, Qu X, Garuti R, Liang XH, Mizushima N, et al. Bcl-2 antiapoptotic proteins inhibit Beclin 1-dependent autophagy. *Cell* 2005; 122: 927-939.
- A-niapor N, shokri gara geshlagi S, amani M, sharifi pasandi M, salehi H, niapour A. Effects of all trans retinoic acid on apoptosis induction and notch1, hes1 genes expression in gastric cancer cell line MKN-45. *Koomesh* 2016; 17: 1024-1032. (Persian).
- B-Jaafarinejad H, Ghanizadeh N, Ghahremanfar F, Barati M, Manouchehri Doulabi E, Kokhrei P. Effect of Beberine on the survivin gene expression in peripheral blood mononuclear cell of chronic lymphocytic leukemia patients in vitro. *Koomesh* 2017; 19: 227-232. (Persian).
- Wang ZY, Chen Z. Acute promyelocytic leukemia: from highly fatal to highly curable. *Blood* 2008; 111: 2505-2515.

[38] Hassani S, Khaleghian A, Ahmadian S, Alizadeh S, Alimoghaddam K, Ghavamzadeh A, Ghaffari SH. Redistribution of cell cycle by arsenic trioxide is associated with demethylation and expression changes of cell cycle related genes in acute promyelocytic leukemia cell line (NB4). Ann Hematol 2018; 97: 83-93.

[36] Finn PF, Mesires NT, Vine M, Dice JF. Effects of small molecules on chaperone-mediated autophagy. Autophagy 2005; 1: 141-145.

[37] Khaleghian A, Ghaffari SH, Ahmadian S, Alimoghaddam K, Ghavamzadeh A. Metabolism of arsenic trioxide in acute promyelocytic leukemia cells. J Cell Biochem 2014; 115: 1729-1739.

Arsenic trioxide induction autophagy in human acute promyelocytic leukemia

Faride shakerimoghadam (M.Sc)¹, Maedeh Dejamfekr (M.Sc)², Seyed Hamidollah Ghaffari (Ph.D)³, Shahin Ahmadian (Ph.D)⁴, Ali Khaleghian (Ph.D)^{*1}

1- Dept. of Biochemistry, Semnan University of Medical Sciences, Semnan, Iran

2- Student Research Committee, Faculty of Medicine, Semnan University of Medical Sciences, Semnan, Iran

3- Hematology Oncology and Stem Cell Transplantation Research Center, Shariati Hospital, Tehran University of Medical Sciences, Tehran, Iran

4- Dept. of Biochemistry and Biophysics, Tehran, Iran

* Corresponding author. +98 2333441021 khaleghian.ali@gmail.com

Received: 11 Nov 2017; Accepted: 19 May 2018

Introduction: Autophagy is a survival pathway required for cellular viability during starvation through catabolic self digestion of damaged proteins and organelles; however, autophagy may result in cell death if it proceeds to completion. Although the exact mechanism of this process is not clear, it seems that proper regulation of autophagy can potentially contribute to the therapeutics of cancers. The aim of this study was to determine the role of Arsenic trioxide (As₂O₃) in the induction of autophagy in human acute promyelocytic leukemia.

Materials and Methods: In this study, the role of autophagy in the As₂O₃-induced death of NB4 cells was assessed using electron microscopy. Also, quantitative real-time PCR method was used for expression of autophagy related genes in dose and Time dependent manner.

Results: Our results showed that autophagy induces death in NB4 cells treated with arsenic trioxide. It was also found that the Atg7, Bclin1 and LC3 genes, which are essential genes for induction of autophagy, are the target of arsenic trioxide invasion.

Conclusion: This study showed As₂O₃-induced autophagy plays an important role in eliminating leukemia cells and treatment of cancer.

Keywords: Acute Leukemia, Promyelocytic, Autophagy, Gene Expression, Arsenic Trioxide.